

FCC-Bericht (Federal Communications Commission)

Qi-Technologies GmbH

EMF Modulationseinheit, Modell: Qi-Home Cell

in Übereinstimmung mit FCC 47 CFR Teil 15B*

Erstellt für: Qi-Technologies GmbH
 Bahnhofstrasse 16
 02625 Bautzen
 Deutschland
 02625
 VEREINIGTES KÖNIGREICH



Add value.
 Inspire trust.

FCC ID: Nicht zutreffend

VERTRAULICH

Dokument 75947152-01 Ausgabe 01

UNTERSCHRIFT

| NAME | BERUFSBEZEICHNUNG | VERANTWORTLICH FÜR | AUSSTELLUNGSTAG |
|-------------|-------------------|---------------------------|------------------|
| Andy Lawson | Senior Engineer | Unterschriftsberechtigter | 5. Dezember 2019 |

Die Unterschriftsberechtigten in diesem Genehmigungsfeld haben dieses Dokument in Übereinstimmung mit den Bestimmungen der Dokumentkontrollvorgaben des TÜV SÜD geprüft.

TECHNISCHE ERKLÄRUNG

Die Messungen in diesem Bericht wurden in Übereinstimmung mit den auf den Testseiten beschriebenen Verfahren durchgeführt. Alle Tests in diesem Bericht wurden mit Testgeräten durchgeführt, um die begrenzte Konformität mit FCC 47 CFR Teil 15B aufzuzeigen. Es wurde festgestellt, dass das getestete Probestück mit den in den angewendeten Regelungen definierten Anforderungen übereinstimmt.

| VERANTWORTLICH FÜR | NAME | DATUM | UNTERSCHRIFT |
|--------------------|--------------|------------------|--------------|
| Test | Colin McKean | 5. Dezember 2019 | |

FCC Akkreditierung
 90987 Octagon House, Fareham Test Laboratory

KURZFASSUNG

Ein Muster dieses Produkts wurde geprüft und entspricht FCC 47 CFR Teil 15B: 2018 der Tests, wie in Abschnitt 1.3. näher aufgeführt.



AUSSCHLUSSKLAUSEL UND URHEBERRECHT

Dieser unverbindliche Bericht wurde vom TÜV SÜD mit hinreichender Sachkenntnis und Sorgfalt erstellt. Das Dokument ist für den potenziellen Kunden und den TÜV SÜD vertraulich. Eine Reproduktion des ganzen Dokumentes ist ohne vorherige schriftliche Genehmigung des TÜV SÜD nicht gestattet. © 2019 TÜV SÜD. Dieser Bericht bezieht sich auf das/die tatsächlich getestete/n Produkt/e.

AKKREDITIERUNG

Unsere UKAS-Akkreditierung enthält keine Meinungen und Interpretationen. Sollten diese erklärt werden, sind sie außerhalb des Rahmens unserer UKAS-Akkreditierung. Testergebnissets, die nicht UKAS-akkreditiert sind, sind mit NUA gekennzeichnet (Nicht UKAS –akkreditiert).

TÜV SÜD
 ist ein Handelsname von TÜV SÜD Ltd
 Registriert in Schottland in East Kilbride,
 Glasgow G75 0QF, Vereinigtes Königreich
 Registriernummer: SC215164

TÜV SÜD Ltd ist eine
 TÜV SÜD
 Konzerngesellschaft

Tel.: +44 (0) 1489 558100
 Fax: +44 (0) 1489 558101
www.tuv-sud.co.uk

TÜV SÜD
 Octagon House
 Concorde Way
 Fareham
 Hampshire PO15 5RL
 Vereinigtes Königreich

*FCC=Federal Communications Commission FCR=Code of Federal Regulations Teil 15B



Inhalt

Inhalt

| | | |
|----------|---------------------------------------|-----------|
| 1 | Berichtszusammenfassung | 2 |
| 1.1 | Bericht Modifizierungsprotokoll | 2 |
| 1.2 | Einleitung | 2 |
| 1.3 | Kurzfassung der Ergebnisse | 3 |
| 1.4 | Erklärung des Buildstatus | 4 |
| 1.5 | Produktinformation | 6 |
| 1.6 | Abweichungen vom Standard | 6 |
| 1.7 | EUT Modifizierungsbericht | 6 |
| 1.8 | Prüfort | 7 |
| 2 | Testdetails | 8 |
| 2.1 | Abgestrahlte Störgröße | 8 |
| 3 | Ereignismeldungen | 19 |
| 4 | Messunsicherheit | 20 |



1 Berichtszusammenfassung

1.1 Bericht Modifizierungsprotokoll

Änderungen und Ergänzungen zu diesem Bericht werden an die Inhaber ausgestellt, jede Ausfertigung als vollständiges Dokument.

| Ausgabe | Beschreibung der Änderung | Ausstellungstag |
|---------|---------------------------|------------------|
| 1 | Erste Ausgabe | 5. Dezember 2019 |

Tabelle 1

1.2 Einleitung

| | |
|--------------------------------|---------------------------|
| Antragsteller | Qi-Technologies GmbH |
| Hersteller | Qi-Technologies GmbH |
| Modellnummer(n) | Qi-Home Cell |
| Seriennummer(n) | HCZ19-06-02-17 |
| Hardware Version(en) | Februar 2019 |
| Software Version(en) | Nicht zutreffend |
| Anzahl getesteter Muster | 1 |
| Test Spezifikation/Ausgabe/Tag | FCC 47 CFR Teil 15B: 2018 |
| Auftragsnummer | Pro Forma-Rechnung |
| Datum | 27. September 2019 |
| EUT erhalten am | 1. Oktober 2019 |
| Beginn des Tests | 8. November 2019 |
| Ende des Tests | 8. November 2019 |
| Name des(r) Ingenieurs(e) | Colin McKean |
| Zugehörige(s) Dokument(e) | ANSI C63.4: 2014 |



1.3 Kurzfassung der Ergebnisse

Nachstehend eine Kurzfassung der durchgeführten Tests in Übereinstimmung mit FCC 47 CFR Teil 15B.

| Bereich | Spezifikationsbestimmung | Testbeschreibung | Ergebnis | Anmerkungen/Basisstandard |
|---|--------------------------|------------------------|-----------|---------------------------|
| Konfiguration und Betriebsweise: Stromlos - Inaktiv | | | | |
| 2.1 | 15.109 | Abgestrahlte Störgröße | Bestanden | ANSI C63.4: 2014 |

Tabelle 2

Beglaubigte Übersetzung aus der englischen Sprache

1.4 Erklärung des Buildstatus

| HAUPTPRÜFOBJEKT (EUT) | |
|--|--|
| HERSTELLUNGSBESCHREIBUNG | EMF-Modulationseinheit |
| HERSTELLER | Qi-Technologies |
| MODELL NAME/NUMMER | Qi-Home Cell |
| TEILNUMMER | |
| SERIENNUMMER | HCZ 19 02 06 17 |
| HARDWARE VERSION | Februar 2019 |
| SOFTWARE VERSION | Nicht zutreffend |
| PSU SPANNUNG/FREQUENZ/STROM | Nicht zutreffend |
| HÖCHSTE INTERN GENERIERTE / VERWENDETE FREQUENZ | 5.0 GHz |
| FCC ID (falls zutreffend) | |
| INDUSTRIE KANADA ID (falls zutreffend) | |
| TECHNISCHE BESCHREIBUNG (Kurzbeschreibung des Verwendungszwecks und Betriebs) | EMF-Modulationseinheit interagiert mit umgebender EM-Umgebung |
| URSPRUNGSLAND | Deutschland |
| HF-MERKMALE (falls zutreffend) | |
| TRANSMITTER FREQUENZ EINSATZBEREICH (MHz) | 824.0 - 849.0 MHz 876.0 - 915.0 MHz 1710.0 - 1910.0 MHz 2.400 - 2.485 MHz; 5725 - 5875 MHz |
| RECEIVER FREQUENZ EINSATZBEREICH (MHz) | 824.0 - 849.0 MHz 876.0 - 915.0 MHz 1710.0 - 1910.0 MHz 2.400 - 2.485 MHz; 5725 - 5875 MHz |
| ZWISCHENFREQUENZEN | |
| EMISSION CODE(S): (d.h. G1D, GXW) | 300KGXW, 22M0G1D, 16M5D1D, 33M1D1D |
| MODULATIONSTYPEN: (d.h. GMSK, QPSK) | GSM 850, 900, 1800, 1900, 802. 11 |
| ABGABELEISTUNG (W oder dBm) | ~1 W |
| SEPARATE BATTERIE/STROMZUFUHR (falls zutreffend) | |
| HERSTELLUNGSBESCHREIBUNG | |
| HERSTELLER | |
| TYP | |
| TEILNUMMER | |
| PSU SPANNUNG/FREQUENZ/STROM | |
| URSPRUNGSLAND | |
| MODULE (falls zutreffend) | |
| HERSTELLUNGSBESCHREIBUNG | |
| HERSTELER | |
| TYP | |
| STROM | |
| FCC ID | |
| INDUSTRIE KANADA ID | |
| EMISSION CODE | |

Beglaubigte Übersetzung aus der englischen Sprache

| | | | |
|----------------------------------|--|--|--|
| DHSS/FHSS/KOMBINIERT ODER ANDERE | | | |
| URSPRUNGSLAND | | | |
| ZUSÄTZE (falls zutreffend) | | | |
| HERSTELLUNGSBESCHREIBUNG | | | |
| HERSTELLER | | | |
| TYP | | | |
| TEILNUMMER | | | |
| SERIENNUMMER | | | |
| URSPRUNGSLAND | | | |

Ich erkläre hiermit, dass die zur Verfügung gestellten Informationen korrekt und vollständig sind.

Name: Hagen Thiers

Derzeitige Position: CEO

Datum 3.10.2019

Beglaubigte Übersetzung aus der englischen Sprache

1.5 Produktinformation

1.5.1 Technische Beschreibung

Das Prüfobjekt (EUT) war ein Qi Technologies GmbH, EMF Modulationseinheit, Modell: Qi-Home Cell.

Die vorrangige Funktion des EUT ist: tragbares Gerät mit einer Schutzklasse gegen nichtionisierende Strahlung.

1.5.2 Prüfkonfiguration

| Konfiguration | Beschreibung |
|---------------|--|
| Stromlos | The EUT war ein eigenständiges, stromloses Gerät, das auf einem nicht-leitenden Tisch in einer Halbschaldichtkammer platziert wurde. |

Tabelle 3

1.5.3 Betriebsweise

| Betrieb | Beschreibung |
|---------|----------------------------------|
| Inaktiv | Das EUT hat keine Betriebsweise. |

Tabelle 4

1.6 Abweichungen vom Standard

Während des Tests gab es keine Abweichungen vom anwendbaren Teststandard.

1.7 EUT Modifizierungsbericht

Nachstehende Tabelle zeigt die während des Testprogramms durchgeführten Modifikationen im Detail.

Die während jedes Tests enthaltenen Modifikationen sind auf den entsprechenden Testseiten beschrieben.

| Modifikation Status | Beschreibung der an das EUT noch angepassten Modifikation | Modifikation angepasst durch | Datum der angepassten Modifikation |
|--|---|------------------------------|------------------------------------|
| Modell: Qi-Home Cell; Seriennummer: HCZ19-06-02-17 | | | |
| 0 | Wie vom Kunden geliefert | Nicht zutreffend | Nicht zutreffend |

Tabelle 5

1.8 Prüfort

TÜV SÜD führte die nachstehenden Tests in unserem Fareham Testlabor durch.

| Name des Tests | Name des(r) Ingenieurs(e) | Akkreditierung |
|---|---------------------------|----------------|
| Konfiguration und Betriebsweise: Stromlos - Inaktiv | | |
| Abgestrahlte Störgröße | Colin McKean | UKAS |

Tabelle 6

Büroadresse:

Octagon House
Concorde Way
Segensworth North
Fareham
Hampshire
PO15 5RL
Vereinigtes Königreich

2 Testdetails

2.1 Abgestrahlte Störgröße

2.1.1 Referenzspezifikation

FCC 47 CFR Teil 15B, Ziffer 15.109

2.1.2 Prüfobjekt und Status der Modifizierung

Qi-Home Cell, S/N: HCZ19-06-02-17 - Modifikationsstatus 0

2.1.3 Datum des Tests

8. November 2019

2.1.4 Testmethode

Das Prüfobjekt (EUT) wurde in einer Halbschalldichtkammer auf einem ferngesteuerten Drehtisch errichtet und auf einem nicht-leitenden Tisch 0,8 m über der Referenzebene platziert.

Damit das Prüfobjekt in verschiedenen Ebenen vernünftig verwendet werden kann, wurden Pre-Scans durchgeführt, wobei das Prüfobjekt an X, Y und Z-Ebenen mit Bezug zur Referenzebene ausgerichtet wurde.

Ein Pre-Scan des Emissionsprofils des Prüfobjekts wurde mit 3 m Abstand mittels eines Spitzenwert-Detektors durchgeführt, wobei der Antennen-Prüfobjekt-Richtungswinkel und die Polarisierung verändert wurden.

Unter Verwendung einer Liste der während des Pre-Scan gefundenen höchsten Emissionen zusammen mit deren Lage und zugehöriger Antennenpolarisierung, wurde das Prüfobjekt formell mit einem Quasi-Spitzenwert-, Spitzenwert- oder CISPR-Mittelwertdetektor, falls zutreffend, gemessen.

Die abgelesenen Werte wurden durch Anpassung der Antennenhöhe, Polarisierung und drehbaren Richtungswinkel in Übereinstimmung mit der Spezifikation maximiert.

2.1.5 Beispiel Berechnung

Unter 1 GHz:

$$\begin{aligned} \text{Quasi-Spitzenwert (dB}\mu\text{V/m)} &= \text{Empfangspegel (dB}\mu\text{V)} + \text{Berichtigungsfaktor (dB)} \\ \text{Differenz (dB)} &= \text{Quasi-Spitzenwert (dB}\mu\text{V/m)} - \text{Höchstgrenze (dB}\mu\text{V/m)} \end{aligned}$$

Über 1 GHz:

$$\begin{aligned} \text{CISPR Mittelwert (dB}\mu\text{V/m)} &= \text{Empfangspegel (dB}\mu\text{V)} + \text{Berichtigungsfaktor (dB)} \\ \text{Differenz (dB)} &= \text{CISPR Mittelwert (dB}\mu\text{V/m)} - \text{Höchstgrenze (dB}\mu\text{V/m)} \end{aligned}$$

$$\begin{aligned} \text{Spitzenwert (dB}\mu\text{V/m)} &= \text{Empfangspegel (dB}\mu\text{V)} + \text{Berichtigungsfaktor (dB)} \\ \text{Differenz (dB)} &= \text{Spitzenwert (dB}\mu\text{V/m)} - \text{Höchstgrenze (dB}\mu\text{V/m)} \end{aligned}$$

2.1.6 Beispiel Prüfaufbau Diagramm

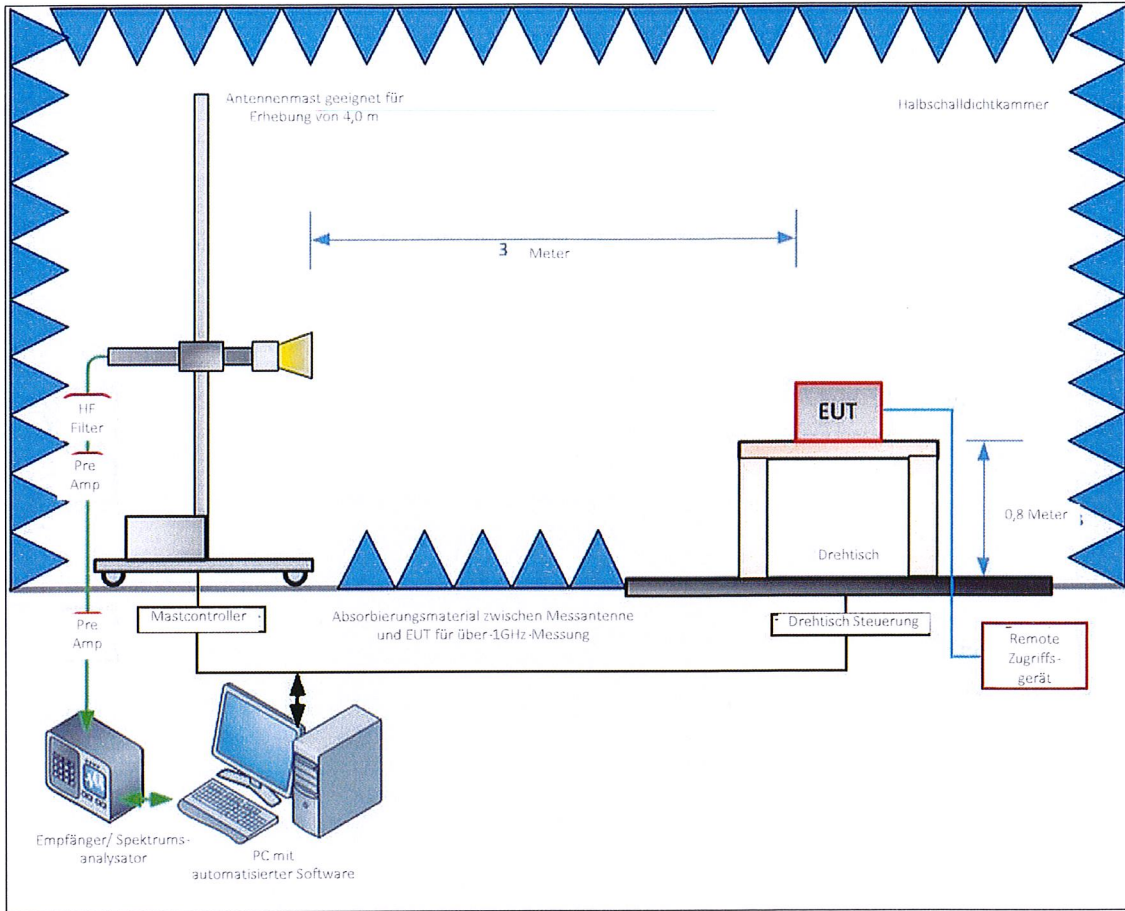


Schaubild 1 – Abgestrahlte Störgröße Beispiel Versuchsaufbau

2.1.7 Umgebungsbedingungen

Umgebende Temperatur 20,0 °C
 Relative Feuchtigkeit 46,0 %

2.1.8 Spezifikationshöchstgrenze

| Erforderliche Spezifikationshöchstgrenzen, Feldstärke (Klasse B @ 3m) | | |
|---|----------------------------|-------------------------------------|
| Frequenzbereich (MHz) | ($\mu\text{V}/\text{m}$) | ($\text{dB}\mu\text{V}/\text{m}$) |
| 30 bis 88 | 100 | 40 |
| 88 bis 216 | 150 | 43.5 |
| 216 bis 960 | 200 | 46.0 |
| Über 960 | 500 | 54 |

Zusätzliche Informationen:
 Quasi-Spitzenwertdetektor für Messungen unter 1 GHz CISPR
 Mittelwertdetektor für Messungen über 1 GHz
 Spitzenwerttestgrenze über 1 GHz ist 20 dB höher als die CISPR-Mittelwerttestgrenze.

Tabelle 7

2.1.9 Testergebnisse

Ergebnisse für die Konfiguration und der Betriebsweise: Stromlos Inaktiv.

Der Test wurde in Übereinstimmung mit den Grenzwerten der Klasse B durchgeführt.

Leistungsbewertung des Prüfobjekts während des Tests: Bestanden.

Nachstehend die detaillierten Ergebnisse.

Höchste erreichte oder mit dem Prüfobjekt verwendete Frequenz: Nicht zutreffend
 Welche eine höhere Frequenzhöchstgrenze erforderlich macht von: 40 GHz

Frequenzbereich des Tests: 30 MHz bis 1 GHz

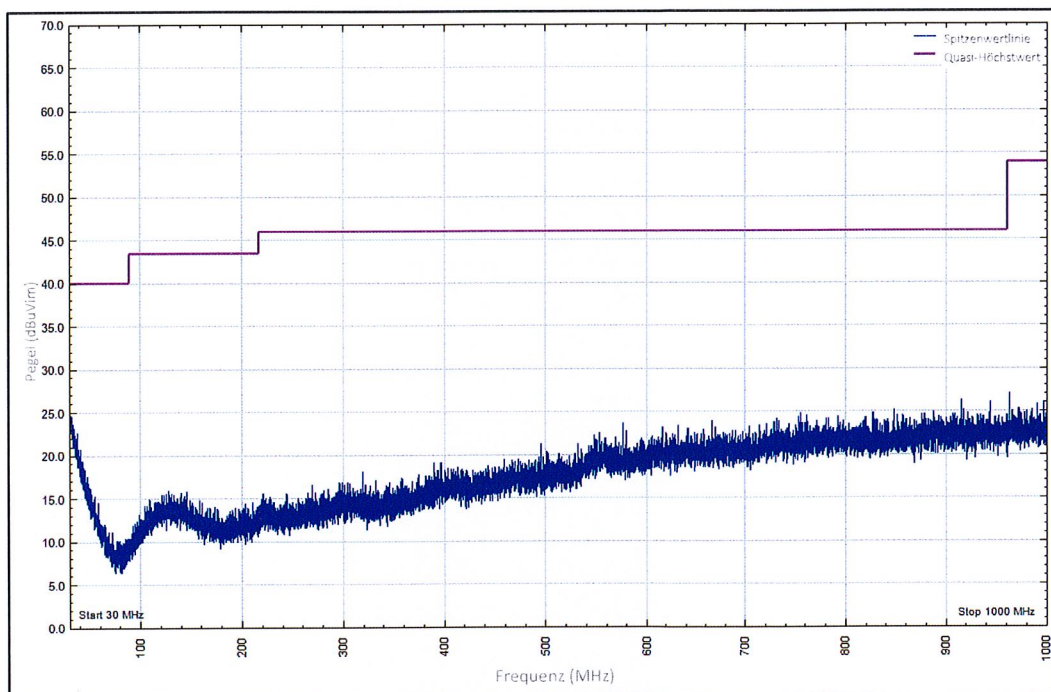


Schaubild 2 – Grafische Ergebnisse - Vertikale Polarität

| Frequenz (MHz) | Pegel (dBµV/m) | Höchstgrenze (dBµV/m) | Differenz (dB) | Detektor | Winkel (°) | Höhe (cm) | Polarisierung | Orientierung |
|----------------|----------------|-----------------------|----------------|----------|------------|-----------|---------------|--------------|
| * | | | | | | | | |

Tabelle 8

*Keine Durchführung von Messungen, da alle abgelesenen Spitzenwertemissionen größer als 10 dB unter der Testhöchstgrenze lagen.

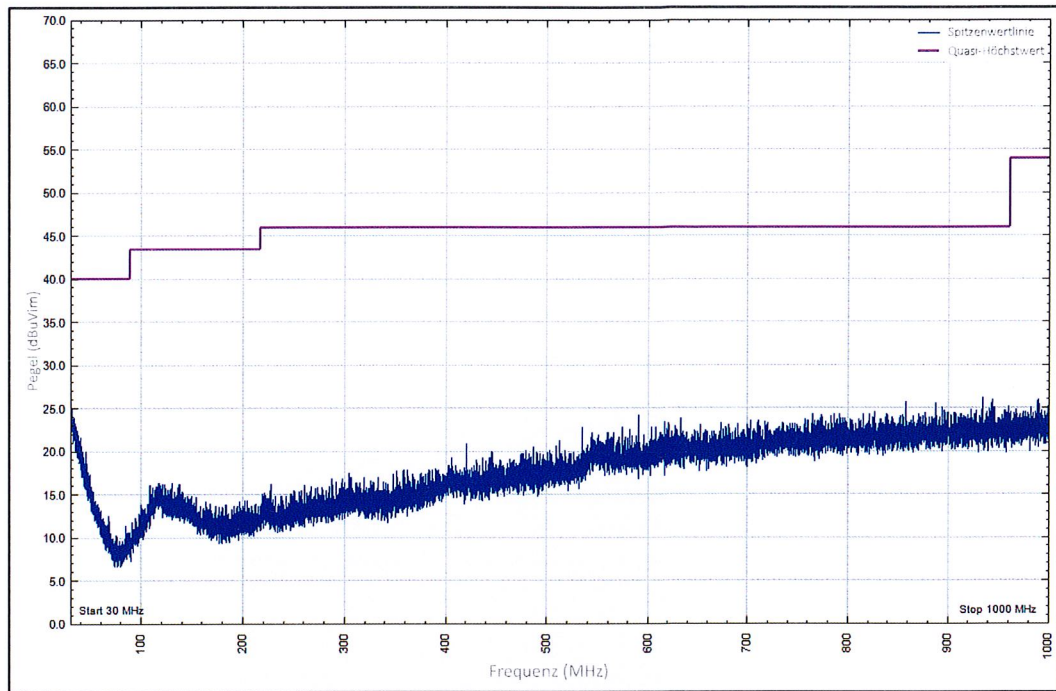


Schaubild 3 – Grafische Ergebnisse - Horizontale Polarität

| Frequenz (MHz) | Pegel (dBµV/m) | Höchstgrenze (dBµV/m) | Differenz (dB) | Detektor | Winkel (°) | Höhe (cm) | Polarisierung | Orientierung |
|----------------|----------------|-----------------------|----------------|----------|------------|-----------|---------------|--------------|
| * | | | | | | | | |

Tabelle 9

*Keine Durchführung von Messungen, da alle abgelesenen Spitzenwertemissionen größer als 10 dB unter der Testhöchstgrenze lagen.

Beglaubigte Übersetzung aus der englischen Sprache

Frequenzbereich des Tests: 1 GHz bis 40 GHz

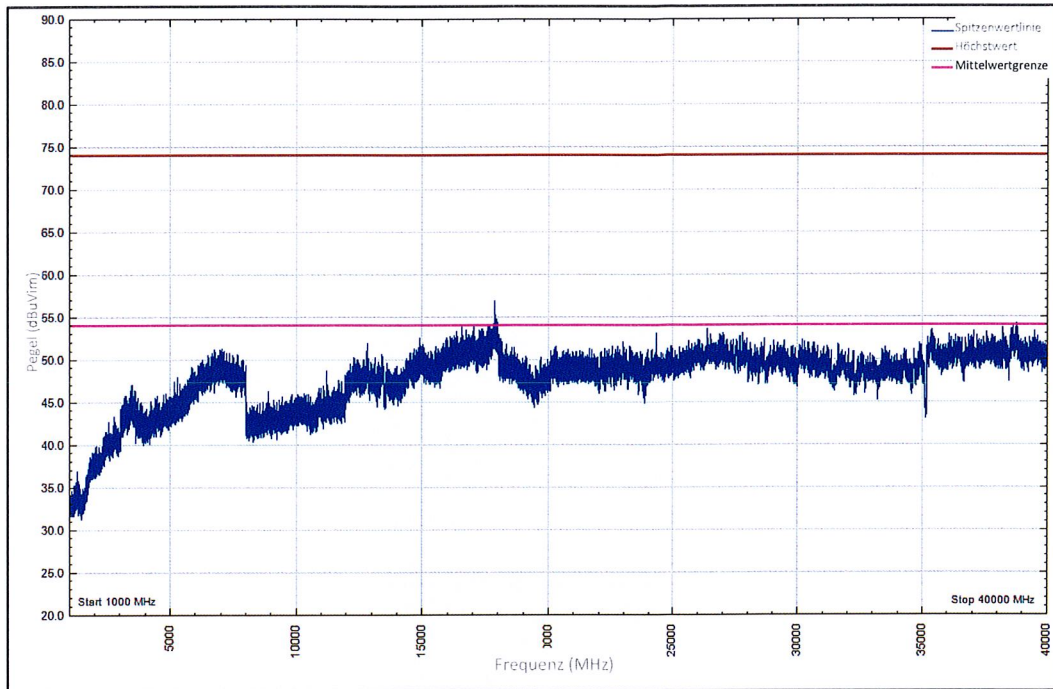


Schaubild 4 - Grafische Ergebnisse - Vertikale Polarität– Spitzenwert

| Frequenz (MHz) | Pegel (dBµV/m) | Höchstgrenze (dBµV/m) | Differenz (dB) | Detektor | Winkel (°) | Höhe (cm) | Polarisierung | Orientierung |
|----------------|----------------|-----------------------|----------------|----------|------------|-----------|---------------|--------------|
| * | | | | | | | | |

Tabelle 10

*Keine Durchführung von Messungen, da alle abgelesenen Spitzenwertemissionen größer als 10 dB unter der Testhöchstgrenze lagen.

Beglaubigte Übersetzung aus der englischen Sprache

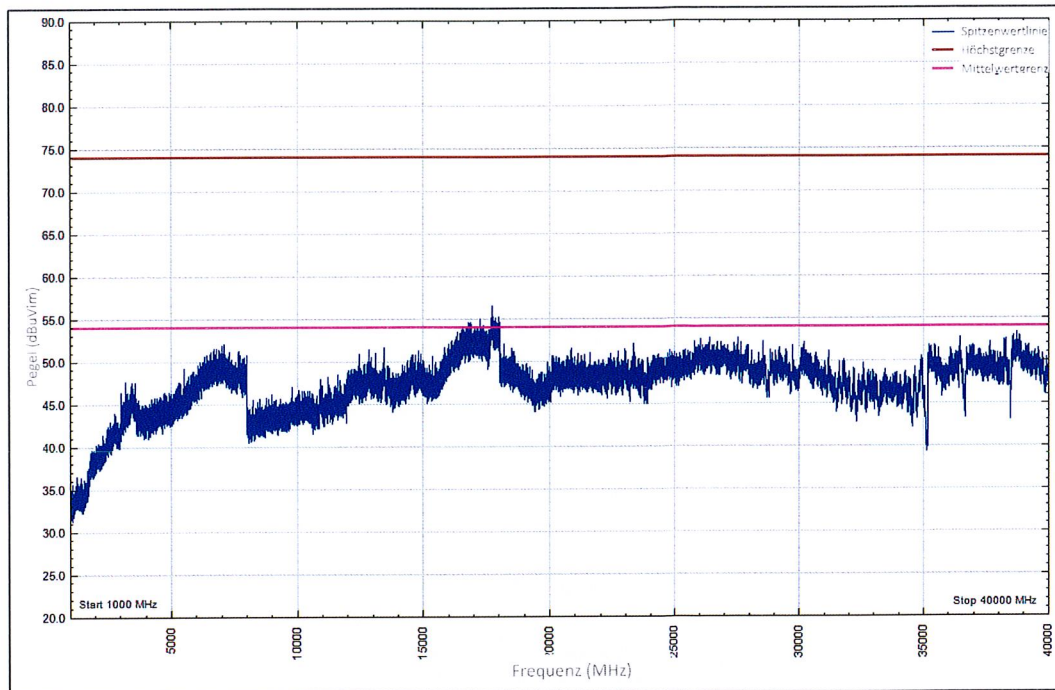


Schaubild 5 – Grafische Ergebnisse - Horizontale Polarität - Spitzenwert

| Frequenz (MHz) | Pegel (dBµV/m) | Höchstgrenze (dBµV/m) | Differenz (dB) | Detektor | Winkel (°) | Höhe (cm) | Polarisierung | Orientierung |
|----------------|----------------|-----------------------|----------------|----------|------------|-----------|---------------|--------------|
| * | | | | | | | | |

Tabelle 11

*Keine Durchführung von Messungen, da alle abgelesenen Spitzenwertemissionen größer als 10 dB unter der Testhöchstgrenze lagen.

Frequenzbereich des Tests: 3 GHz bis 40 GHz

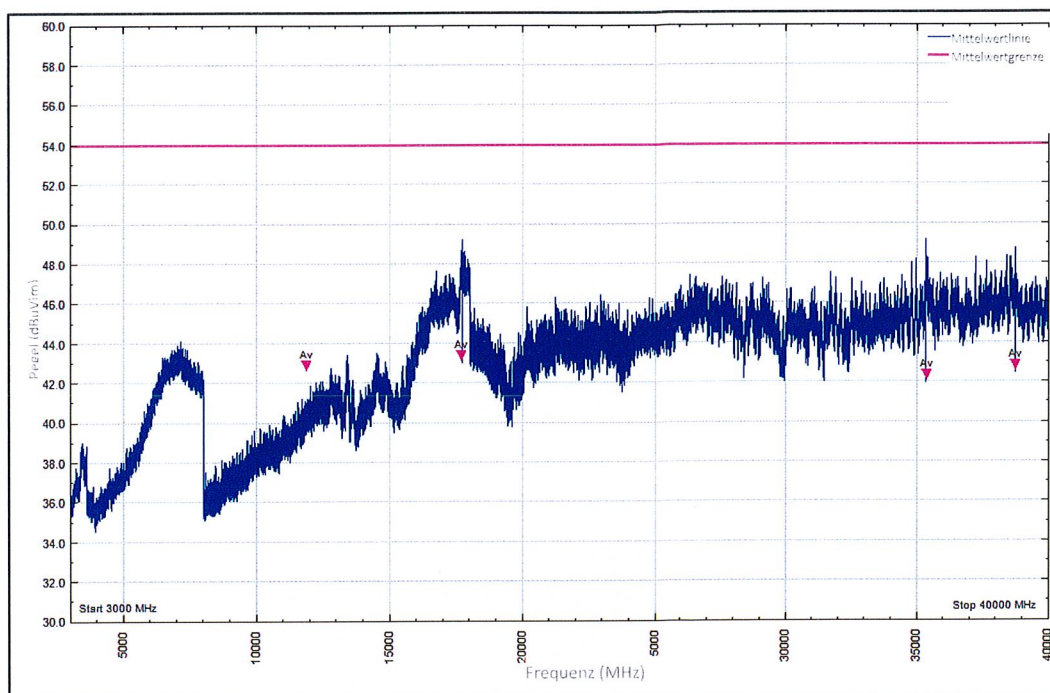


Schaubild 6 – Grafische Ergebnisse – Vertikale Polarität - Durchschnitt

| Frequenz (MHz) | Pegel (dBµV) | Grenze (dBµV/m) | Differenz (dB) | Detektor | Winkel (°) | Höhe (cm) | Polarisierung | Orientierung |
|----------------|--------------|-----------------|----------------|--------------|------------|-----------|---------------|--------------|
| 11891.440 | 42.5 | 54.0 | -11.5 | Durchschnitt | 281 | 100 | Vertikal | Vorne |
| 17692.690 | 43.0 | 54.0 | -11.0 | Durchschnitt | 293 | 175 | Vertikal | Vorne |
| 35393.280 | 42.0 | 54.0 | -12.0 | Durchschnitt | 63 | 100 | Vertikal | Vorne |
| 38752.693 | 42.5 | 54.0 | -11.5 | Durchschnitt | 148 | 100 | Vertikal | Vorne |

Tabelle 12

Keine Durchführung weiterer Messungen, da alle abgelesenen Spitzenwertemissionen größer als 10 dB unter der Testhöchstgrenze lagen.

Keine Durchführung von Messungen unter 3 GHz mittels einer durchschnittlichen Detektorfunktion, da die Spitzenwerte in den vorhergehenden Spitzenwertdarstellungen größer als 6dB unter der durchschnittlichen Prüfgrenze lagen.

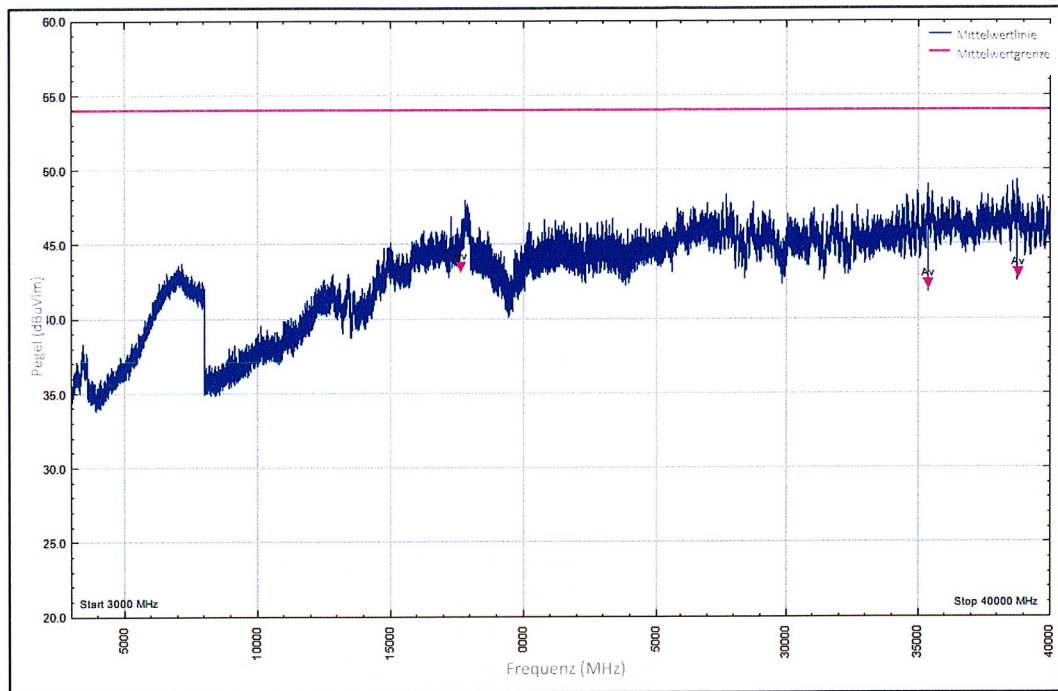


Schaubild 7 – Grafische Ergebnisse – Horizontale Polarität – Durchschnitt

| Frequenz (MHz) | Pegel (dBµV/m) | Grenze (dBµV/) | Differenz (dB) | Detektor | Winkel (°) | Höhe (cm) | Polarisierung | Orientierung |
|----------------|----------------|----------------|----------------|--------------|------------|-----------|---------------|--------------|
| 17651.143 | 43.0 | 54.0 | -11.1 | Durchschnitt | 284 | 100 | Horizontal | Front |
| 35401.947 | 41.8 | 54.0 | -12.2 | Durchschnitt | 269 | 100 | Horizontal | Front |
| 38797.227 | 42.5 | 54.0 | -11.5 | Durchschnitt | 53 | 100 | Horizontal | Front |

Tabelle 13

Keine Durchführung weiterer Messungen, da alle abgelesenen Spitzenwertemissionen größer als 10 dB unter der Testhöchstgrenze lagen.

Keine Durchführung von Messungen unter 3 GHz mittels einer durchschnittlichen Detektorfunktion, da die Spitzenwerte in den vorhergehenden Spitzenwertdarstellungen größer als 6 dB unter der durchschnittlichen Prüfgrenze lagen.

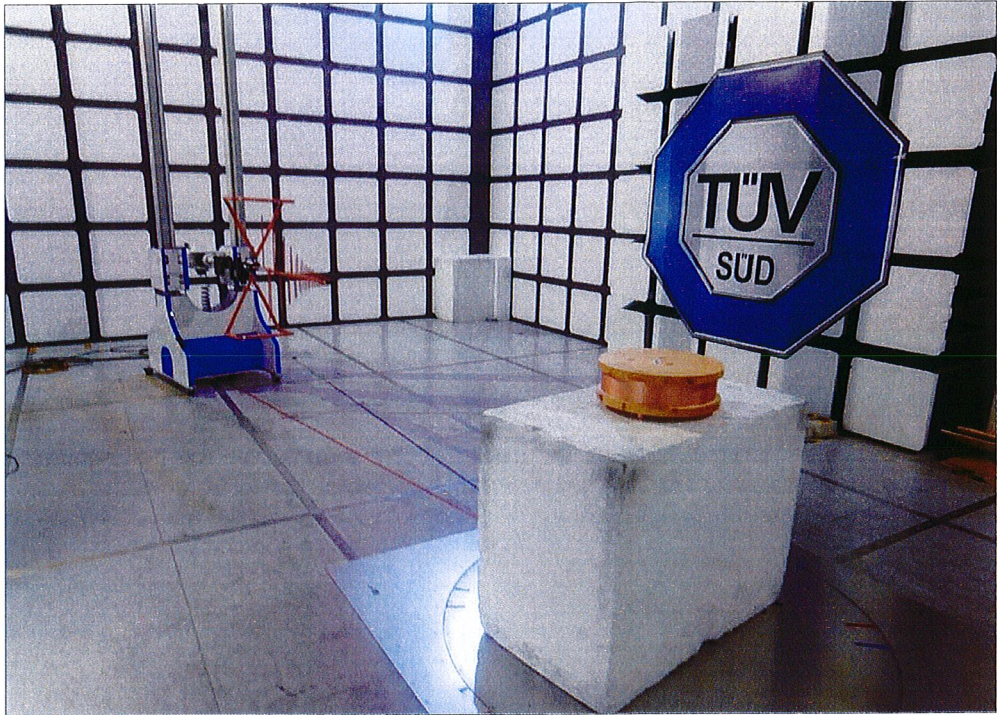


Schaubild 8 - Prüfaufbau - 30 MHz bis 1 GHz

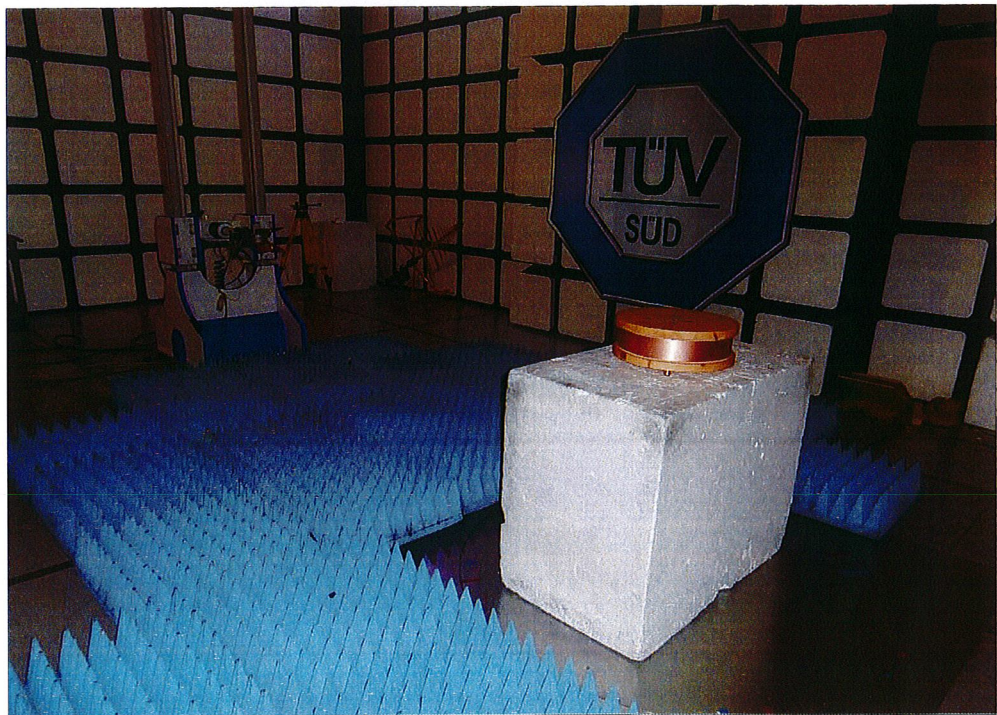


Schaubild 9 - Prüfaufbau - 1 GHz bis 18 GHz



Schaubild 10 - Prüfaufbau – über 18 GHz

Beglaubigte Übersetzung aus der englischen Sprache

2.1.10 Prüfort und verwendetes Prüfstück

Dieser Test wurde in der EMV-Kammer 5 durchgeführt.

| Instrument | Hersteller | Typ Nr. | TE Nr. | Kalibrierungs- dauer (Monate) | Kalibrierung fällig |
|---|-------------------|----------------------------|--------|----------------------------------|---------------------|
| Antenne 18-40GHz (Doppelsteg Guide) | Link Microtek Ltd | AM180HA-K-TU2 | 230 | 24 | 02. Mai 2020 |
| Rauscharmer Vorver- stärker (1GHz bis 10GHz) | Miteq Corp | AFS5-01001000-20- 10P-5 | 1200 | 12 | 30. Nov. 2019 |
| Vorverstärker | Phase One | PS04-0086 | 1533 | 12 | 08. Feb. 2020 |
| 18GHz - 40GHz Vorverstärker | Phase One | PS04-0087 | 1534 | 12 | 05. Feb. 2020 |
| Abgeschirmter Raum (5) | Rainford | Rainford | 1545 | 36 | 23. Jan. 2021 |
| Drehtisch-Controller | Inn-Co GmbH | CO 1000 | 1606 | - | TU |
| Antenne mit permanentem Dämpfungselement (Bilog) | Chase | CBL6143 | 2904 | 24 | 30. Sep. 2021 |
| EMB Testempfänger | Rohde & Schwarz | ESU40 | 3506 | 12 | 17. Dez. 2019 |
| Kabel (Rx, Km-Km 2m) | Scott Cables | KPS-1501-2000- KPS | 4526 | 6 | 11. Dez. 2019 |
| Doppelsteg Hohlleiter Horn- antenne | ETS-Lindgren | 3117 | 4722 | 12 | 5. März 2020 |
| Mastcontroller | Maturo GmbH | NCD | 4810 | - | TU |
| Tilt Antennenmast | Maturo GmbH | TAM 4.0-P | 4811 | - | TU |
| EmX Strahlungs-Software | TUV SUD | EmX | 5125 | - | Software |
| 1,5m 40GHz HF Kabel | Scott Cables | KPS-1501-2000- KPS | 5127 | 6 | 11. Dez. 2019 |
| Vorverstärker (30dB 1GHz bis 18GHz) | Schwarzbeck | BBV 9718 C | 5261 | 12 | 26. März 2020 |

Tabelle 14

TU - Traceability Unscheduled (außerplanmäßige Rückverfolgbarkeit)

3 Ereignismeldungen

Keine Ereignismeldungen vorhanden.

4 Messunsicherheit

Für ein Konfidenzniveau von 95% sind die Messunsicherheiten für definierte Systeme wie folgt:

| Name des Tests | Messunsicherheit |
|------------------------|---|
| Abgestrahlte Störgröße | 30 MHz bis 1 GHz, Bilog Antenne, $\pm 5,2$ dB 1 GHz bis 40 GHz, Horn Antenne, $\pm 6,3$ dB |

Tabelle 15

Fehler bei ungünstigsten Bedingungen für Zeit und Frequenzmessung 12 Teile in 10^6 .

Entscheidungsregel bei Messunsicherheit

Die Feststellung der Konformität mit den Spezifikationsgrenzen basiert auf der Entscheidungsregel gemäß IEC Guide 115:2007, Ziffer 4.4.3 und 4.5.1.

Als öffentliche bestellte und beeidigte Übersetzerin für die englische Sprache (Landgericht Hof) bestätige ich die Richtigkeit und Vollständigkeit der Übersetzung des englischen Dokuments, das mir digital vorgelegt wurde.

Hof, den 19. Dezember 2019

Sabine Olischer
Fuchsweg 4
95028 Hof

